

高二地理

考生注意：

1. 本试卷分选择题和非选择题两部分。满分 100 分，考试时间 75 分钟。
2. 答题前，考生务必用直径 0.5 毫米黑色墨水签字笔将密封线内项目填写清楚。
3. 考生作答时，请将答案答在答题卡上。选择题每小题选出答案后，用 2B 铅笔把答题卡上对应题目的答案标号涂黑；非选择题请用直径 0.5 毫米黑色墨水签字笔在答题卡上各题的答题区域内作答，**超出答题区域书写的答案无效，在试题卷、草稿纸上作答无效。**
4. 本卷命题范围：高考范围。

一、选择题：本大题共 15 小题，每小题 3 分，共 45 分。在每小题给出的四个选项中，只有一项是符合题目要求的。

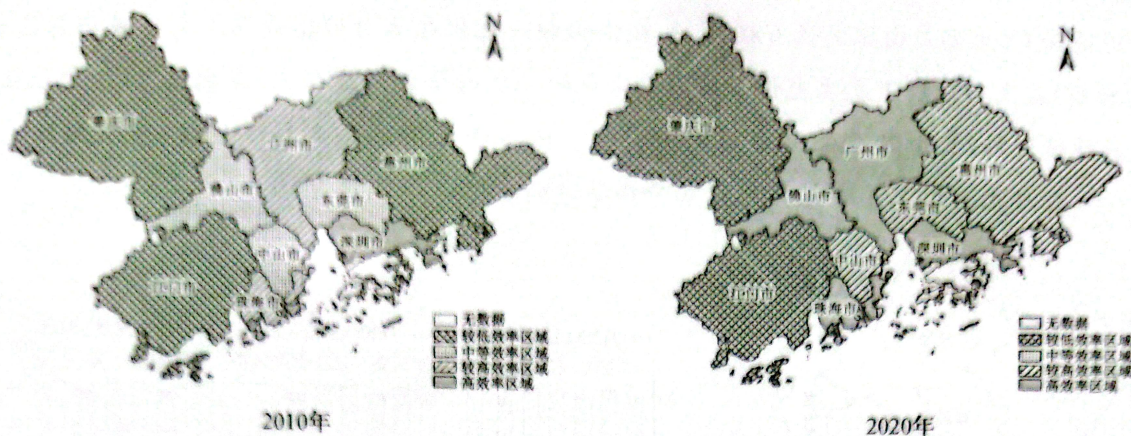
黄梅挑花(如下图所示)起源于唐宋,发展成熟于明末清初,广泛流传于湖北省黄梅县。黄梅挑花以元青布作底,用针将五彩丝线挑制在底布的经线和纬线交叉的网格上,形成色泽绚丽、立体感强的精美图案,其内容丰富,品种繁多,具有浓郁的地方风格和民族特色。2006 年 5 月 20 日,黄梅挑花被列入第一批国家级非物质文化遗产名录。据此完成 1~3 题。



1. 黄梅挑花广泛流传于湖北省黄梅县,关键在于当地
 - A. 原材料丰富
 - B. 地势起伏较大
 - C. 工商业发达
 - D. 内河航运发达
2. 黄梅挑花被列入国家级非物质文化遗产名录,主要得益于
 - A. 用途广
 - B. 商业推广价值高
 - C. 价格低
 - D. 传统技艺价值高
3. 列入国家级非物质文化遗产名录对黄梅挑花的直接影响是
 - A. 扩大销售范围
 - B. 形成规模化生产
 - C. 利于技艺传承
 - D. 提高市场竞争力

粤港澳大湾区是国家战略下创新与产业发展的先行区,区内集聚了大量水平优良的高技术产业,其中,珠三角九个城市成为粤港澳大湾区高技术产业的主要阵地。下图示意 2010 年、2020 年珠三角九个

城市高技术产业创新效率空间布局。据此完成4~6题。



4. 与2010年相比,2020年珠三角九个城市高技术产业创新效率
- A. 均有大幅提升
B. 佛山市提升较明显
C. 北部低于南部
D. 惠州市提升不明显
5. 2010~2020年,深圳市高技术产业创新始终处于高效率水平,主要是因为
- A. 经济发达
B. 常规能源较丰富
C. 人口稠密
D. 政策支持力度大
6. 为缩小高技术产业创新效率的区域差异,珠三角九个城市应
- ①提高人才落户门槛 ②打破行政区划限制 ③加强同质化竞争 ④加强区域城市深度合作
- A. ①②
B. ①③
C. ②④
D. ③④

截至2022年底,四川省累计完成投资250余亿元,建成“渡改桥”1200余座。南流嘉陵江大桥位于四川省广元市昭化区虎跳镇,横跨嘉陵江,全长954m,是广元市跨度最大的“渡改桥”,大桥于2019年12月开工建设,预计2023年8月通车。据此完成7~8题。

7. 与跨江大桥相比,渡运
- A. 不受自然条件限制
B. 安全性好
C. 初期投入成本较低
D. 速度较快
8. 南流嘉陵江大桥通车运营后
- A. 沿线劳动力大量回流
B. 减小广元市的人地矛盾
C. 改变虎跳镇空间结构
D. 有效促进城乡融合发展

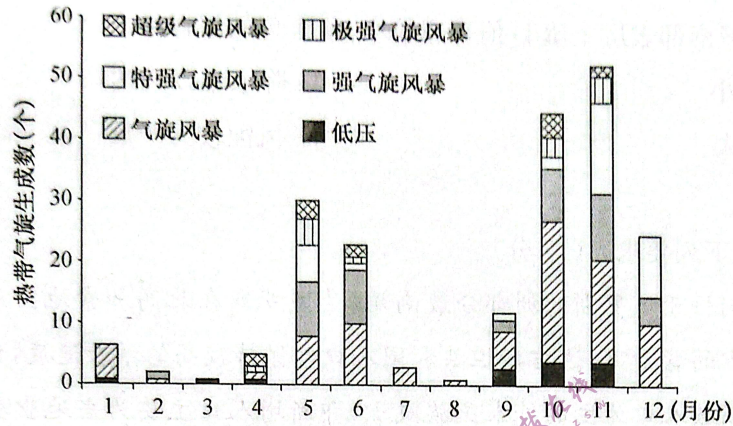
厄尔尼诺—南方涛动(简称ENSO)是热带太平洋海—气耦合相互作用的最强年际信号之一,厄尔尼诺和拉尼娜是ENSO循环过程中的反相位状态。ENSO正相位时,赤道附近中东太平洋海表温度异常升高,ENSO负相位时,赤道附近中东太平洋海表温度异常降低。研究发现,ENSO负相位时,哈尔滨地区气候向暖干化趋势发展。据此完成9~10题。

9. ENSO负相位时,哈尔滨地区可能增多的自然灾害是
- A. 寒潮
B. 旱灾
C. 地震
D. 洪灾

10. 受 ENSO 正相位影响

- A. 澳大利亚东部降水减少
- B. 赤道附近太平洋东西方向热量交换增强
- C. 秘鲁渔场的渔获量增加
- D. 赤道附近西太平洋海—气相互作用增强

北印度洋主要包括阿拉伯海和孟加拉湾两个海域,这两个海域每年生成的热带气旋数量占全球热带气旋总数的约 13%。下图示意 1979~2018 年北印度洋热带气旋累计生成数月际变化。据此完成 11~12 题。



11. 1979~2018 年,北印度洋

- A. 气旋风暴累计生成数最多
- B. 特强气旋风暴累计生成数最少
- C. 热带气旋集中生成于盛夏
- D. 低压累计生成数较强气旋风暴多

12. 10~11 月北印度洋热带气旋累计生成数较多的原因最可能是

- ①海水温度较高
- ②寒流势力强
- ③淡水补给量大
- ④洋面风速小

- A. ①②
- B. ①④
- C. ②③
- D. ③④

吉兰泰盐湖位于阿拉善高原,面积约 120 km²,湖底沉积了大量盐类物质,周边被乌兰布和沙漠与腾格里沙漠环绕。下图示意吉兰泰盐湖盆地流域位置。土壤 D 值是反映土壤颗粒大小和质地的一个指标,土壤 D 值越大,表明土壤颗粒越小、含水率越大。研究发现,吉兰泰盐湖流域表层土壤 D 值呈现出由南向北逐渐增大的分布特征。据此完成 13~15 题。



13. 吉兰泰盐湖盆地流域

- A. 土壤养分低
- B. 河流流量大
- C. 风沙地貌少
- D. 森林面积广

14. 吉兰泰盐湖湖底沉积了大量盐类物质,最可能是因为

- A. 湖区下渗量小
- B. 地形较封闭,蒸发量较大
- C. 湖域面积较广
- D. 降水少,水位季节变化小

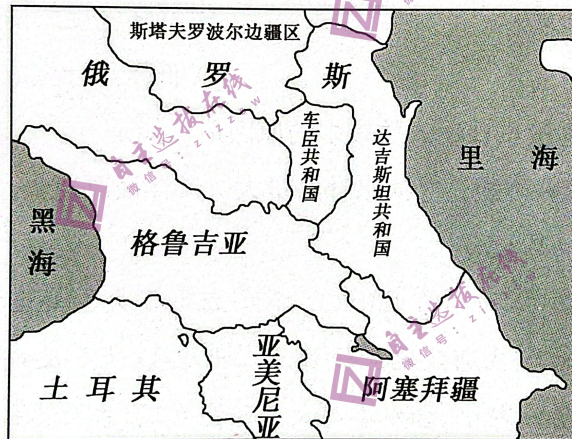
15. 吉兰泰盐湖盆地流域南部表层土壤 D 值普遍较小,最合理的解释是

- A. 受人类活动干预小
- B. 降水难以到达
- C. 土壤的含水率较大
- D. 风蚀较为严重

二、非选择题:共 55 分。

16. 阅读图文材料,完成下列要求。(17 分)

达吉斯坦共和国位于俄罗斯欧洲部分最南端,是俄罗斯在北高加索地区最大的共和国。在俄罗斯整体人口普遍减少的背景下,达吉斯坦共和国人口却保持较高的增长速度,但这种人口发展趋势同时又伴随着以俄罗斯族人口为主的外来民族减少,即新增人口主要为当地少数民族。下图示意达吉斯坦共和国位置及周边地区。



- (1) 推测达吉斯坦共和国俄罗斯族人口减少的主要原因。(3 分)
- (2) 指出达吉斯坦共和国俄罗斯族人口外流产生的负面影响。(6 分)
- (3) 请你为缓解达吉斯坦共和国俄罗斯族人口外流提出可行性建议。(8 分)

17. 阅读图文材料,完成下列要求。(16分)

近地面 O_3 主要是由挥发性有机物、氮氧化物和一氧化碳等自然排放和人为排放的前体物(产生 O_3 的物质)在太阳辐射下发生光化学反应而生成的二次污染物。近年来,我国 O_3 污染超标城市和超标天数持续增加,其中河北南部城市尤为突出。图 1 示意河北南部城市位置(阴影部分),图 2 示意 4~10 月河北南部城市月均 O_3 浓度和污染等级的变化。



图 1

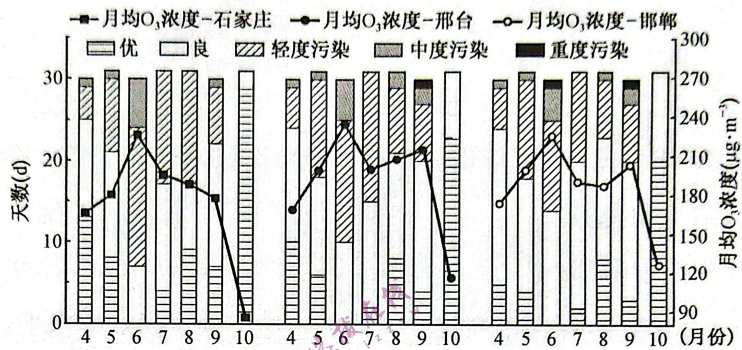
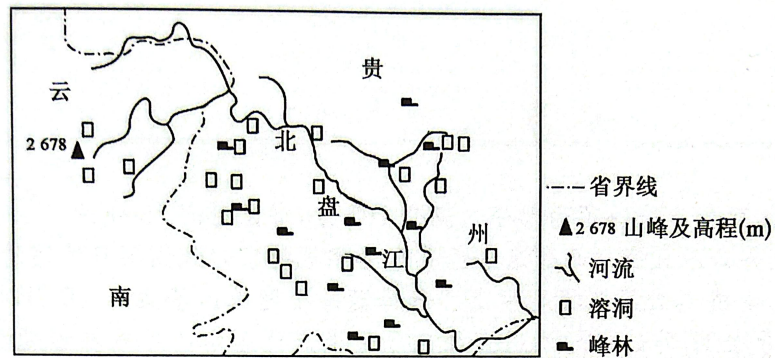


图 2

- (1) 推测近年来河北南部城市 O_3 污染突出的主要原因。(6分)
- (2) 指出河北南部城市无 O_3 污染优等级的月份及成因。(6分)
- (3) 与石家庄相比,说明 8~9 月邯郸月均 O_3 浓度状况的成因。(4分)

18. 阅读图文材料,完成下列要求。(22分)

北盘江发源于滇东,自西北向东南流经云贵高原向广西丘陵过渡的斜坡地带,在贵州黔西南州望谟县汇入红水河,全长 449 km,落差 1 982 m,全流域有大小瀑布 165 处。北盘江流域地质构造复杂,水土流失严重。下图示意北盘江流域位置及周边地区。



- (1) 推测北盘江流域地质构造复杂的主要原因。(8分)
- (2) 北盘江流域溶洞发育广泛,对此做出合理解释。(6分)
- (3) 分析北盘江全流域多瀑布的成因。(8分)